

ОБЪЕДИНЕННЫЙ
ИНСТИТУТ
ЯДЕРНЫХ
ИССЛЕДОВАНИЙ
ДУБНА



B-191

2208/2-76

14/VI-76

P4 - 9519

С.И.Васильев, И.Н.Кухтина, Г.Шульц

ДИФРАКЦИОННОЕ РАССЕЯНИЕ

α -ЧАСТИЦ НАЗАД И ОПТИЧЕСКАЯ МОДЕЛЬ

1976

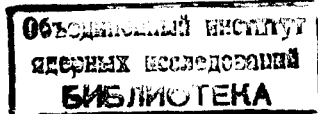
P4 - 9519

С.И.Васильев, И.Н.Кухтина, Г.Шульц*

ДИФРАКЦИОННОЕ РАССЕЯНИЕ
 α -ЧАСТИЦ НАЗАД И ОПТИЧЕСКАЯ МОДЕЛЬ

Направлено в ЯФ

* ЦИЯИ Россендорф, ГДР.



Экспериментальные данные по упругому рассеянию α -частиц с энергией 20-30 МэВ, полученные в ряде работ /см. /1//, показывают, что сечение упругого рассеяния на некоторых ядрах значительно возрастает в области углов, близких к π , причем угловое распределение имеет дифракционный характер. Такие угловые распределения называют "аномальными". Существует целый ряд способов описания аномальных угловых распределений: Эберхардом /2/ использовалось ℓ -зависящее поглощение $W(\ell)$ в рамках оптической модели; учет одного и двух полюсов Редже в матрице рассеяния S дифракционной модели был проведен Мак-Воем /3/.. Как микроскопическую интерпретацию полюсов Редже можно рассматривать результаты Агасси и Уолла /4/ по учету обменного взаимодействия между α -частицей и α -кластером, который, как предполагается, существует на поверхности ядра-мишени. Все эти способы объяснения аномального рассеяния α -частиц назад формально сводятся к увеличению вклада парциаль-

ных волн с $\ell \sim k r_0$, где $k = \frac{1}{\hbar} \sqrt{2\mu E}$, r_0 - радиус ядра.

Авторам работы /5/ удалось описать аномальное рассеяние α -частиц на ядре ^{39}K при помощи обычной оптической модели с потенциалом Вудса-Саксона с глубиной действительной части, близкой к четырехнуклонной / ~ 200 МэВ/ и объемным поглощением. Губкин в работе /6/ показал, что появление аномального дифракционного рассеяния α -частиц может быть объяснено введением в стандартную форму параметризации S -матрицы в дифракционной модели члена, описывающего рассеяние на задние углы и учитывающего отражение малых парциальных волн от границы ядра. Эффекты отражения малых парциальных волн от края ядра предполагались существенными также Франом и Вентером /7/.

В данной работе показано, что происхождение этого члена нельзя связать с коэффициентом отражения в рамках стандартной оптической модели.

Для иллюстрации оценим коэффициент отражения от поверхности ядра ϵ для малых парциальных моментов в случае прямоугольной ямы. Как известно, для $\ell \ll k_0 r_0$ кулоновское взаимодействие оказывается несущественным при рассеянии α -частиц с энергией более 20 МэВ на ядрах оболочки $2s-1d$. Напишем решение уравнения Шредингера для незаряженных частиц вне ядра

$$\phi_\ell = \chi_\ell^{(-)} - S_\ell \chi_\ell^{(+)}, \quad /1/$$

где $\chi_\ell^{(\pm)} = k_0 r_0 h_{(2)}^{(1)}(k_0 r)$, $h_{(2)}^{(1)}(k_0 r)$ - сферические функции Ханкеля, S_ℓ - коэффициент рассеяния. Если предположить, что внутри ядра существует лишь прошедшая волна, то $|S_\ell|$ можно рассматривать как коэффициент отражения от края ядра ϵ . Это соответствует полному поглощению частиц внутри ядра и приводит к значению логарифмической производной

$$\left(\frac{\phi'}{\phi}\right)_{r=r_0} = i\kappa, \quad /2/$$

где κ - импульс частицы внутри ядра. Тогда

$$S_\ell = \left(\frac{\chi_\ell^{(-)'} + i\kappa \chi_\ell^{(-)}}{\chi_\ell^{(+)' + i\kappa \chi_\ell^{(+)}} \right)_{r=r_0}. \quad /3/$$

Если $\ell \ll k_0 r_0$, то, используя асимптотику функций Ханкеля, можно получить

$$S_\ell \approx \frac{\kappa - k_0}{\kappa + k_0} \exp(-2ik_0 r_0 + i\pi\ell), \quad /4/$$

$$\epsilon = |S_\ell| \approx \frac{\kappa - k_0}{\kappa + k_0} \ll 1. \quad /4a/$$

Таким образом, за счет отражения от поверхности ядра матричные элементы S_ℓ для малых угловых момен-

тов, которые играют главную роль в рассеянии назад, отличны от нуля. Поэтому в качестве представления коэффициента рассеяния в дифракционной модели естественно выбрать /6/

$$S_\ell = \tilde{S}_\ell + \epsilon \exp(i\pi\ell) \epsilon (1 - \tilde{S}_\ell), \quad /5/$$

где \tilde{S}_ℓ - представление S -матрицы, использованное Инопиным /8/. Выражение /5/ приводит к следующим формулам для дифференциальных сечений:

$$\sigma(\theta) = \sigma_n(\theta); \quad \theta < \theta_1, \quad /6/$$

$$\sigma(\theta) = \epsilon^2 \sigma_n(\pi - \theta); \quad \theta > \theta_1, \quad /7/$$

где $\sigma_u(\theta)$ - дифференциальное сечение, полученное Инопиным и Кресниным /9/, θ_1 - угол рассеяния, при котором сечения /6/ и /7/ одного порядка. Формула /7/ дает дифференциальные сечения рассеяния на углы, близкие к π . Параметр ϵ является подгоночным. Анализ углового распределения упругого рассеяния α -частиц с энергией 30,5 МэВ на ядре по формулам /6/ и /7/ приводит к значению параметра $\epsilon = 0,08$, что, согласно формуле /4a/, значительно меньше единицы.

Для более точных оценок величины коэффициентов отражения ϵ необходимо учесть размытость края ядра. Рассмотрим конкретный пример - аномальное рассеяние α -частиц с энергией 24,2 МэВ на ^{24}Mg /16/. Рассчитаем угловое распределение упругого рассеяния по оптической модели с потенциалом Вудса-Саксона и объемным поглощением

$$V(r) = -(U_0 + iW)f(r), \quad f(r) = \left\{ 1 + \exp\left(\frac{r - r_0}{a}\right) \right\}^{-1}. \quad /8/$$

Затем, получив параметры потенциала /8/, соответствующие оптимальному согласию расчетов с экспериментом, вычислим для потенциала /8/ коэффициенты отражения ϵ . Воспользуемся для этого методом ВКБ, что позволит, на наш взгляд, получить наглядное решение задачи.

Из выражения /4a/ следует, что величина сечения

на большие углы должна зависеть от глубины потенциала. Поэтому в расчетах использовались два набора параметров потенциала /8/ с глубинами действительной части 25 и 250 МэВ. Результаты расчетов показаны на рис. 1, полученные наборы параметров приведены в таблице.

Таблица

	U_0	W	$r_0/A^{1/3}$	a	$r_c/A^{1/3}$
I	25,0	8,3	1,74	0,54	1,3
II	250,0	20,5	1,40	0,54	1,3

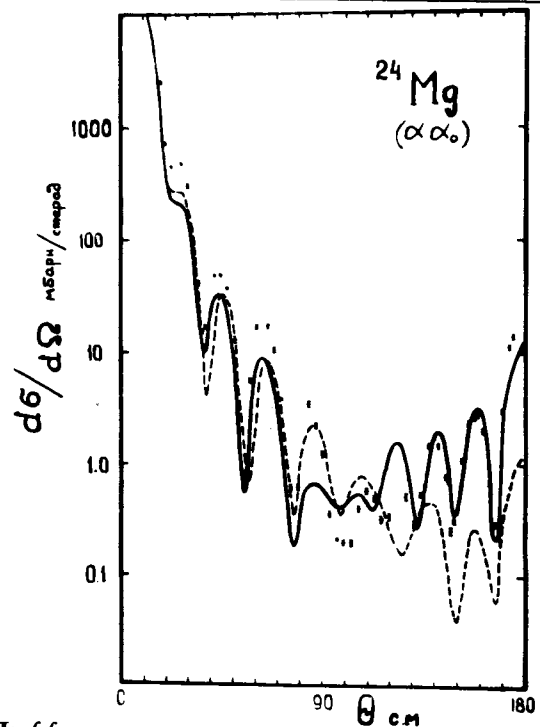


Рис. 1. Дифференциальные сечения упругого рассеяния α -частиц с энергией 24,2 МэВ на $^{24}\text{Mg}/^{107}$ и расчет по оптической модели с параметрами I /пунктирная линия/ и II /сплошная кривая/.

Процедура поиска параметров была следующей: одиночной вариацией параметров r_0 , W и a достигалось удовлетворительное описание экспериментальных данных до углов рассеяния $\sim 120^\circ$, затем для получения оптимального согласия во всем угловом диапазоне варьировался параметр W . В расчетах с набором параметров I попытки достигнуть согласия в области больших углов рассеяния приводили к значительным расхождениям теоретического и экспериментального угловых распределений в малых углах. Поэтому значение $W = 8,3$ МэВ выбрано при подгонке углового распределения до углов 120° . В расчетах с набором параметров II удалось получить удовлетворительное описание экспериментального углового распределения при всех углах рассеяния. Сечение рассеяния на большие углы оказалось слабо зависящим от диффузности потенциала и очень чувствительным к величине поглощения. Это, вообще говоря, свидетельствует о малом влиянии отражения от поверхности ядра на дифракционное рассеяние назад.

Рассмотрим сначала S-волну и случай незаряженных частиц. Потенциал /8/ с параметрами из таблицы удовлетворяет условию квазиклассичности /10/

$$\xi = \frac{\mu \left| \frac{dU}{dr} \right|}{k^3 \hbar^2} \ll 1, \quad /9/$$

где $U(r)$ - потенциал. В точке $r=r_0$ параметр $\xi = 0,07$ и $0,08$ для наборов параметров I и II, соответственно. Ясно, что в интересующей нас области r при $l \neq 0$ и учете кулоновского поля параметр квазиклассичности ξ уменьшается, так как производная потенциала на координате падает.

Предположив, что внутри ядра существует лишь прошедшая волна, можно определить коэффициент отражения от края ядра /5/

$$\begin{aligned} \epsilon &= \exp\{-2\text{Im} \int_{r_1}^{r_p} K(r) dr\} = \\ &= \exp\left\{-\frac{2}{\hbar} \int_{r_1}^{r_p} \sqrt{2\mu \left(E + \frac{U_0}{1 + \exp\left(\frac{r-r_0}{a}\right)}\right)} dr\right\}, \quad /10/ \end{aligned}$$

где r_p - комплексная точка поворота, r_1 - произвольная точка вещественной оси. Положив $x = r/a$, $a = E/U_0$ получим

$$\epsilon = \exp\left\{-2ak_0 \operatorname{Im} \int_{x_1}^{x_p} \sqrt{1 + \frac{1}{a(1 + \exp(x-x_0))}} dx\right\}.$$

Координаты x_p определяются условием $K(x_p) = 0$, откуда

$$x_p = x_0 + \ln \frac{U_0 + E}{E} + i\pi. \quad /11/$$

Выбрав $x_1 = x_0 + \ln \frac{U_0 + E}{E}$, получим

$$\epsilon = \exp\left\{-2ak_0 \operatorname{Re} \int_0^\pi \sqrt{\frac{1 + e^{ix}}{\beta + e^{ix}}} dx\right\} = \exp\{-2ak_0 \pi\}, \quad /12/$$

где $\beta = \frac{E}{U_0 + E}$. Формула /12/ справедлива при доста-

точно малых β , т.к. потенциал /8/ имеет в точке $x = x_0 + i\pi$ особенность. Поэтому коэффициент отражения /12/ не зависит от глубины потенциала.

В случае заряженных частиц при малых r возникает действительная точка поворота, влияние которой, однако, можно не рассматривать, так как нас интересует отражение от края ядра. Это означает, что при $r < b$, где b - точка, в которой потенциальная энергия достигает минимума, мы заменяем потенциал константой, равной его значению в минимуме. С учетом кулоновского поля,

$$K(x) = \frac{1}{\hbar} \sqrt{2\mu \left(E + \frac{U_0}{1 + \exp(x-x_0)} - \frac{z_1 z_2 e^2}{ax} \right)}. \quad /13/$$

Разлагая $K(x)$ в ряд по степеням γ/a , где $\gamma = \frac{z_1 z_2 e^2}{aU_0}$, получим

$$\epsilon = \exp\left\{-2ak_0 \operatorname{Im} \int_{x_1}^{x_p} \sqrt{1 + \frac{1}{a(1 + \exp(x-x_0))}} dx + \right. \quad /14/$$

$$\left. + \frac{a\gamma}{\hbar} \sqrt{2\mu U_0} \operatorname{Im} \int_{x_1}^{x_p} \frac{dx}{x \sqrt{a + \frac{1}{1 + \exp(x-x_0)}}} \right\}.$$

За счет кулоновского поля комплексная точка поворота сдвигается относительно точки /11/ на мнимой оси на величину

$$+ \frac{\gamma}{a(a+1)} \frac{\pi}{(x_0 - \ln \beta)^2 + \pi^2} \ll 1.$$

На верхнем пределе интегралы /14/ равны нулю, поэтому интегрирование можно выполнить в тех же пределах, что и в /10/. Тогда рассмотрим

$$\operatorname{Im} \int_{x_0 - \ln \beta}^{x_0 - \ln \beta + i\pi} \frac{dx}{x \sqrt{a + \frac{1}{1 + \exp(x-x_0)}}} = \quad /15/$$

$$= \sqrt{\frac{a+1}{a(2a+1)}} \operatorname{Re} \int_0^{\pi/2} \frac{\sqrt{1 + i\Delta \operatorname{tg} z}}{z_p + iz} dz,$$

где $z_p = \frac{1}{2}(x_0 - \ln \beta)$, $\Delta = \frac{1}{2a+1}$. Поскольку $z_p \gg \pi/2$,

то

$$\int_0^{\pi/2} \frac{\sqrt{1 + i\Delta \operatorname{tg} z}}{z_p + iz} dz \approx \int_0^{\pi/2} \frac{\sqrt{1 + i\Delta \operatorname{tg} z}}{z_p} dz.$$

Отсюда

$$\operatorname{Re} \int_0^{\pi/2} \frac{\sqrt{1 + i\Delta \operatorname{tg} z}}{z_p + iz} dz \approx \frac{\pi}{2z_p} \sqrt{1 + \Delta}. \quad /16/$$

Подставляя /12/, /15/ и /16/ в /14/, окончательно получим

$$\epsilon = \exp \left\{ -2ak_0\pi + \frac{\pi}{\sqrt{2}} \frac{k_0}{E} \frac{E+U_0}{2E+U_0} \frac{\gamma}{z_p} \right\}. \quad /17/$$

Для проверки результатов /12/ и /17/ можно вычислить методом ВКБ полный коэффициент отражения S -волны в комплексной потенциале /8/, пренебрегая кулоновскими эффектами. Предполагая, что в начале координат амплитуда падающей волны равна амплитуде отраженной, можем записать

$$|S_0| = \exp \left\{ -\frac{2}{\hbar} \operatorname{Im} \int_0^{\infty} \sqrt{2\mu \left(E + \frac{U_0 + iW}{1 + \exp\left(\frac{r-r_0}{a}\right)} \right)} dr \right\} = \quad /18/$$

$$= \exp \left\{ -\frac{2a}{\hbar} \sqrt{2\mu U_0} \int_0^{\infty} \sqrt{a + \frac{1+i\delta}{1 + \exp(x-x_0)}} dx \right\},$$

где $\delta = \frac{W}{U_0}$. Рассмотрим

$$\operatorname{Im} \int_0^{\infty} \sqrt{a + \frac{1+i\delta}{1 + \exp(x-x_0)}} dx = \quad /19/$$

$$= \operatorname{Im} \sqrt{2} \int_{-\operatorname{th} \frac{x_0}{2}}^1 \frac{\sqrt{(2a+1-y) + i\delta(1-y)}}{1-y^2} dy.$$

Разлагая интеграл в /19/ по степеням δ , получим

$$\begin{aligned} \operatorname{Im} \int_0^{\infty} \sqrt{a + \frac{1+i\delta}{1 + \exp(x-x_0)}} dx &\approx \\ &\approx \frac{\delta}{\sqrt{2}} \int_{-\operatorname{th} \frac{x_0}{2}}^1 \frac{dy}{\sqrt{2a+1-y} (1+y)}. \end{aligned} \quad /20/$$

Разложение /20/ выполнено с точностью до членов порядка δ^3 , так как четные члены ряда вещественны. Окончательно получим

$$\begin{aligned} |S_0| &= \exp \left\{ -\frac{\sqrt{2\mu W}}{\hbar} \sqrt{\frac{W}{E+U_0}} [r_0 + \right. \\ &\quad \left. + 2a \ln \left(\frac{\sqrt{2(a+1)+\sqrt{2a+1}}}{\sqrt{2(a+1)+\sqrt{a}}} \right) \right\}. \end{aligned} \quad /21/$$

Сравним полученные результаты со значениями модуля коэффициента рассеяния $|S_\rho|$, рассчитанными по оптической модели /рис. 2/. Вычисления по формуле /12/ при-

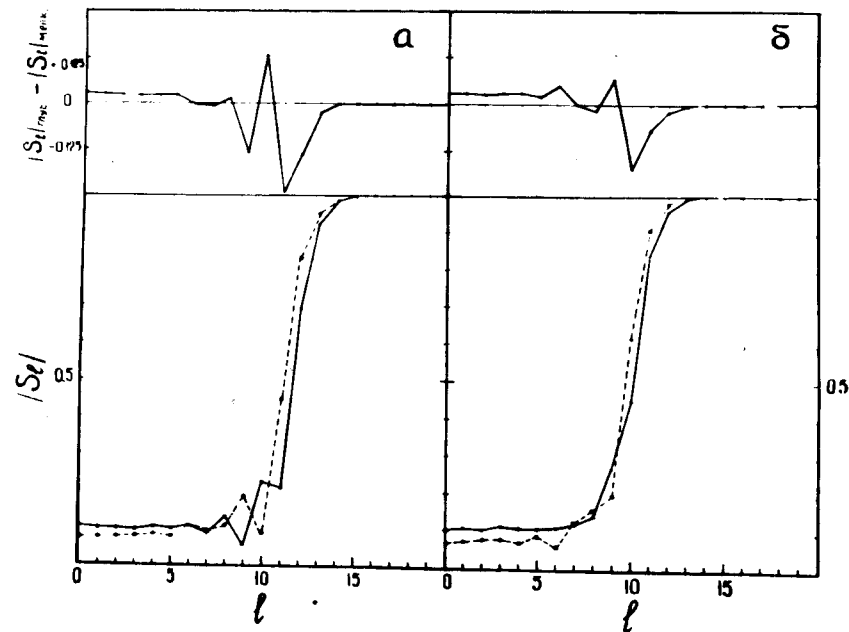


Рис. 2. Зависимость модуля коэффициента рассеяния от углового момента для потенциалов с параметрами I /пунктирная кривая/ и II /сплошная кривая/; а - расчет без кулоновского потенциала, б - с кулоновским потенциалом.

водят к значению коэффициента отражения S -волны от края $\epsilon = \exp /-6,80/ 0,0012$. Кулоновская поправка к показателю экспоненты составляет 0,010 и 0,025 для потенциалов с выбором параметров I и II, соответственно. Так как центробежный потенциал убывает по радиусу быстрее, чем кулоновский, то при $\ell \ll k_0 r_0$ коэффициенты отражения ϵ будут того же порядка, что и в случае S -волны.

Рассчитанные по оптической модели величины $|S_0|$ для потенциалов с наборами параметров I и II равны 0,075 и 0,11, соответственно, выражение /21/ дает 0,079 и 0,116. Наблюдаемое согласие свидетельствует о применимости в рассматриваемом случае квазиклассического приближения и достоверности формул /12/ и /17/.

Значительное расхождение при больших углах рассеяния в величине теоретических дифференциальных сечений, показанных на рис. 1, связано с возрастанием вероятности проникновения частиц с угловыми моментами $\ell \sim k_0 r_0$ в область поглощения при увеличении глубины потенциала. Тогда для описания рассеяния на малые углы, которое определяется парциальными моментами порядка $k_0 r_0$, в случае более глубокого потенциала требуется относительно меньший параметр поглощения W . Это приводит к увеличению вклада малых парциальных волн в рассеяние. Разнице во влиянии поглощения на парциальные волны с $\ell \ll k_0 r_0$ и $\ell \sim k_0 r_0$ в глубоком и мелком потенциалах соответствуют показанные в верхней части рис. 2 кривые.

Полученные для коэффициента ϵ выражения показывают, что его величина определяется параметром диффузности a и практически не зависит от остальных параметров потенциала. Значения параметра диффузности a , как свидетельствует анализ широкого круга экспериментальных данных по упругому рассеянию α -частиц на атомных ядрах, проведенный во многих работах, заключены в пределах 0,4-0,8 Фм. На этом основании можно сделать вывод, что отражение падающей волны от поверхности ядра играет пренебрежимо малую роль в рассеянии α -частиц и не может объяснить аномально больших величин сечений рассеяния на большие углы.

Параметризация S -матрицы, предложенная в работе /6/, позволяет описать рост дифференциальных сечений

в области больших углов рассеяния, что говорит о ее реалистичности. Однако большие величины подгоночного параметра ϵ , получаемые при сравнении расчетов по формулам /6/ и /7/ с опытными данными, показывают, что параметру ϵ следует придавать смысл, отличный от коэффициента отражения падающей волны от поверхности ядра.

В заключение авторы выражают благодарность В.Е.Бунакову, П.П.Зарубину и Ю.В.Кангрополо за ценные обсуждения.

Литература

1. a) G.Gaul, H.Lüdecke, R.Santo, H.Schmeing, R.Stock. *Nucl.Phys.*,
b) А.Е.Антропов, С.И.Васильев, П.П.Зарубин, Б.Н.Орлов. *Изв. АН СССР, сер.физ.*, 38, 3075, 1974.
2. K.A.Eberhard. *Phys.Lett.*, 33B, 343 (1970).
3. K.W.Mc-Voy. *Phys.Rev.*, C3, 1368 (1971).
4. D.Agassi, N.S.Wall. *Phys.Rev.*, C7, 1368 (1973).
5. A.Budzanowski et al. *Nucl.Phys.*; A126, 369 (1969).
6. И.А.Губкин. *ЯФ*, 11, 598, 1970.
7. W.E.Frahn, R.H.Venter. *Ann.Phys.*, 24, 243 (1963).
8. Е.В.Инопин. *ЖЭТФ*, 48, 1620, 1965.
9. Е.В.Инопин, А.А.Креснин. *ЖЭТФ*, 49, 1798, 1965.
10. Л.Д.Ландау, Е.М.Лившиц, "Квантовая механика", М., Физматгиз, 1963.

Рукопись поступила в издательский отдел
4 февраля 1976 года.